

СЕЙСМИЧЕСКАЯ ЭФФЕКТИВНОСТЬ КАМУФЛЕТНОГО ПОДЗЕМНОГО ЯДЕРНОГО ВЗРЫВА

В.А.Быченков, С.В.Демьяновский, Г.В.Коваленко, В.Ф.Куропатенко, И.С.Минаева,
А.Т.Сапожников, В.А.Симоненко, А.В.Петровцев

(ВНИИФТ)

Разработана математическая модель поведения горных пород в условиях подземного ядерного взрыва с учетом испарения, полиморфного перехода и упругоупластических свойств. Создан метод расчета подземных ядерных взрывов с учетом переноса излучения в воздухе, фазовых превращений горных пород, одномерного и двумерного характера движения.

Расчетным путем получена зависимость сейсмической эффективности камуфлетного подземного ядерного взрыва в различных вмещающих средах от радиуса воздушно-заполненной полости и полости, заполненной энергопоглотителем. Определена сейсмическая эффективность подземных ядерных взрывов в водонасыщенном туфе при наличии вытеснутой энергопоглощающей полости, нарушенности и частичного осушения среды в окрестности взрыва.

SEISMIC EFFICIENCY OF CONTAINED UNDERGROUND NUCLEAR EXPLOSION. V.A.Buchenkov, S.V.Demyanovskii, G.V.Kovalenko, V.F.Kuropatenko, I.S.Minaeva, A.T.Sapozhnikov, V.A.Simonenko, A.V.Petrovtsev. Mathematical model of rocks behaviour in underground nuclear explosion allowing for evaporation, polymorphous transition and elastoplastic properties has been developed. The method of calculating underground nuclear explosions including radiation air transfer, phase transitions of rocks, one- and two-dimensional motion pattern has been worked out.

Dependence of seismic efficiency of contained underground nuclear explosion in different confining media on the radius of cavity filled with air and that filled with energy absorber has been produced by calculation. Seismic efficiency of underground nuclear explosions in saturated tuff given the extended energy absorbing cavity, disturbance and partial medium dewatering in the vicinity of the explosion has been determined.

Введение

Интенсивность излучаемого при подземном ядерном взрыве (ПЯВ) сейсмического сигнала определяется главным образом мощностью взрыва и свойствами вмещающего массива. Уже первые экспериментальные наблюдения позволили установить [1], что при прочих равных условиях сейсмическая эффективность (СЭ) взрывов в различных средах может сильно различаться: в соли и граните она примерно одинакова, в то время как в водонасыщенном туфе и сухом аллювии снижается в несколько раз. Другой возможностью достижения такой СЭ является декаплинг, т.е. производство взрыва в полости достаточно большого размера. Ядерный взрыв "Стерлинг" (0,38 кт), проведенный в соляной полости, образованной взрывом "Салмон" (5,3 кт), показал СЭ, в ~100 раз меньшую по сравнению со связанным взрывом в той же среде [2].

В настоящее время установлено, что в число параметров, наиболее существенно влияющих на СЭ связанных взрывов, входят плотность среды, скорость продольной волны, пористость, водонасыщенность, а также прочностные характеристики среды и глубина взрыва. В случае декаплинга к этим параметрам следует добавить размеры полости и характеристики находящихся в ней материалов. Влия-

ние перечисленных факторов на СЭ ПЯВ длительное время изучается как аналитическими методами, так и путем математического моделирования на ЭМ [3-7]. Последний подход позволяет с наибольшей полнотой учесть разнообразные процессы, сопровождающие ПЯВ, начиная с тепловой стадии переноса энергии в слое, непосредственно примыкающем к первичной области энерговыделения, и кончая распространением волны сжатия относительно невысокой амплитуды в упругой зоне на больших расстояниях от центра взрыва. При этом особо важное значение имеет правильное описание свойств вмещающих пород в широком диапазоне давлений, плотностей и температур, происходящих в них превращений физического, химического и механического характера. Разработанные к настоящему времени методики расчета одномерных и двумерных движений, несмотря на недостаточную обеспеченность описания деформационных и прочностных характеристик горных пород (III), позволяют проводить сравнимые расчеты сейсмического источника ПЯВ в различных геологических условиях и с учетом ряда техногенных факторов.

Моделирование поведения III

III рассматривается как совокупность веществ (жидкий и твердый компоненты) и пор (газовый

компонент) [8] с удельным объемом $V = V_m + \theta$, где V_m – объем вещества; θ – объем пор на единицу массы. Веществу (жидкому и твердому компонентам) ставится в соответствие единое уравнение состояния

$$P_m = P(V_m, \epsilon),$$

где ϵ – удельная внутренняя энергия. Массой и давлением газа в порах (пустотах) пренебрегается, в результате средние напряжения в среде σ_{ij} и вещество $\sigma_{ij}^{(m)}$ оказываются связанными соотношениями

$$\sigma_{ij} = \sigma_{ij}^{(m)}(1 - \psi), \quad P = P_m(1 - \psi),$$

где $\psi = V_m/V$ – пористость; $\sigma_{ij} = -P\delta_{ij} + S_{ij}$; S_{ij} – девиатор тензора напряжений;

$$\delta_{ij} = \begin{cases} 1, & i=j; \\ 0, & i \neq j; \end{cases}$$

x_i ($i = 1, 2, 3$) – прямоугольные декартовы координаты. Изменение во времени t девиатора S_{ij} элемента среды подчиняется уравнениям Прандтля–Рейса, ассоциированным с условием пластичности в форме Мизеса

$$\dot{S}_{ij} + \lambda S_{ij} = 2\mu \dot{\epsilon}_{ij} + S_{ij}^{(\omega)},$$

где $\dot{S}_{ij}^{(\omega)}$ – вращательный член в форме Ямана; $\dot{\epsilon}_{ij}$ – девиатор тензора скоростей деформаций; $\epsilon_{ij} = 0,5(\frac{\partial u_i}{\partial x_j} + \frac{\partial u_j}{\partial x_i})$, u_i – вектор скорости; μ – модуль сдвига;

$$\lambda = \begin{cases} \frac{3\mu}{V^2} S_{ij} \dot{\epsilon}_{ij} - \frac{\dot{\psi}}{V}, & S_{ij} S_{ij} = \frac{2}{3} V^2, \frac{3\mu}{V^2} S_{ij} \dot{\epsilon}_{ij} - \frac{\dot{\psi}}{V} > 0; \\ D, & S_{ij} S_{ij} < \frac{2}{3} V^2 \text{ или } \frac{3\mu}{V^2} S_{ij} \dot{\epsilon}_{ij} - \frac{\dot{\psi}}{V} \leq 0; \end{cases}$$

V – предел текучести; по одинаковым индексам i , j идет суммирование. Модуль сдвига μ задается соотношением

$$\mu = \frac{3}{2} \frac{1-2\psi}{1+\psi} K_s F_e,$$

где ψ – коэффициент Пуассона; K_s – изэнтропический модуль объемного расширения вещества; $0 \leq F_e \leq 1$ – функция пористости. При $\psi < \psi_c = const$

$$F_e = (1 - \psi/\psi_c)^2, \quad (I)$$

но в случае непрочной среды, разгруженной до нулевого давления, дальнейшему расширению отвечает $F_e = 0$. Предел V описывается функцией давления ($P \geq 0$), пористости и температуры

$$Y = \left[Y_0 + \frac{\beta_o P(A - Y_0)}{A - Y_0 + \beta_o P} \right] F_e \xi; \quad (2)$$

$$\xi = \begin{cases} 1 - (E_r/E_{rr})^2, & E_r < E_{rr}; \\ 0, & E_r \geq E_{rr}; \end{cases}$$

где E_r – тепловая составляющая удельной внутренней энергии, E_{rr} – удельная тепловая энергия грунта в расплавленном состоянии. Y_0 , β_o , A в (2) – константы, различающиеся в зависимости от фазы Φ_s (показателя степени нарушности среды). Прочной, способной выдерживать растягивающие напряжения среде ($\Phi_s = 0$) отвечают

$$Y = Y_{00}, \quad \beta_o = \beta_{00}, \quad A = A_{00}.$$

В раздробленной на сдвиге или сжатии III ($\Phi_s = 6$) $Y = Y_{00}$, $\beta_o = \beta_{00}$, $A = A_{00}$. Разрушенной при растяжении среде ($\Phi_s = 1, 2, 3, 4, 5$) ставятся в соответствие промежуточные значения:

$$Y = 0,5(Y_{00} + Y_{ss}), \quad \beta_o = 0,5(\beta_{00} + \beta_{ss}),$$

$$A = 0,5(A_{00} + A_{ss}).$$

Разрушение III на сдвиге или сжатии происходит по критерию

$$J_{sp} = J + 1,5PV = V,$$

где $J = \sqrt{1,5 S_{ij} S_{ij}}$. В J_{sp} учтена локальная интенсивность сдвиговых напряжений в окрестности сферической вакуумной поры при всестороннем сжатии элемента среды. Разрушение III при растяжении происходит по критерию критических напряжений. Прочность на разрыв в случае $\Phi_s = 0$ равна $\sigma_{sp} > 0$, а в случае $\Phi_s \neq 0$ полагается равнойнулю. Трециноватая среда с раскрытыми трещинами ($\psi > \psi^*$, ψ^* – исходная пористость) анизотропна, если $I < \Phi_s < 4$, и изотропна – если $\Phi_s = 5$. Анизотропия трещиноватой среды учитывается за счет требования равенства нулю главных напряжений, ортогональных поверхности раскрытых трещин [9,10]. В случае $\Phi_s = 5$, $\psi > \psi^*$ все напряжения $\sigma_{ij} = 0$. Переход из состояния $I < \Phi_s < 4$ в состояние $\Phi_s = 5$ осуществляется при достижении всеми главными напряжениями нулевого значения либо при возникновении пластических деформаций.

Замыкают модель уравнения, определяющие изменение во времени пористости при ненулевых давлениях:

$$\frac{\dot{\psi}_m}{V_m} = F \frac{\dot{\psi}}{V} - \Lambda \frac{S_{ij} \dot{\epsilon}_{ij}}{J}; \quad (3)$$

$$P < P_\psi(\psi) \quad \text{для } \psi \neq 0. \quad (4)$$

Здесь F – функция рыхления (уплотнения) среды за счет всестороннего расширения (сжатия), $0 < \Lambda < I$ – функция рыхления (уплотнения) раздробленной III за счет сдвига, $P_\psi(\psi)$ – определяет максимальное давление в пористой среде. Ненулевая среда описывается уравнением (3) с $F \equiv I$. Форма функциональной зависимости $P_\psi(\psi)$ в (4) предложена в [11] на основании обобщения экспериментальной P - ψ – информации по сжатию II.

$$P_\psi = P_{kp} \exp(C_\psi \cdot \psi), \quad (5)$$

где P_{kp} , $C_\psi = \frac{1}{V} \ln P_0/P_{kp}$, $P_0 < P_{kp}$ – константы. Аддитивная функция Λ в (3) вводится для раздробленной III ($\Phi_s = 6$) при давлениях

$$0 < P < P_\Lambda = \min\{P_\Lambda^*, \alpha P_\psi\}: \\ \Lambda = F_e (1 - P/P_\Lambda)^2 \Lambda_0, \quad (6)$$

где P_Λ^* , $0 < \Lambda < I$, $0 \leq \Lambda_0 < I$ – константы среды. При расширении ($\dot{\psi} > 0$) функция F совпадает с F_e . При сжатии ($\dot{\psi} < 0$) на кривой P - ψ выделяются три участка. На первом (упругом) $P \leq \alpha P_\psi$, а функция $F \equiv F_e$. На третьем $P = P_\psi$ и, полагая сжатие изэнтропическим, получаем

$$F = F_p = \frac{P[C_\psi(\psi-1)-1]}{K_s(\psi-1) + P[C_\psi(\psi-1)-1]}. \quad (7)$$

На промежуточном участке давлений F определяется интерполяцией между значениями F_e в форме (1) и F_p в форме (7). В результате функция F при $\psi \neq 0$ конструируется следующим образом:

$$F = F_p \eta + F_e (1 - \eta);$$

$$\eta = \begin{cases} 0 & , \quad P < \alpha P_\psi \text{ или } \dot{V} > 0; \\ \frac{P - \alpha P_\psi}{\alpha P_\psi}, & \alpha P_\psi < P \leq P_\psi, \dot{V} < 0. \end{cases} \quad (8)$$

Схема поведения пористого материала в координатах давление–деформация показана на рис. I.

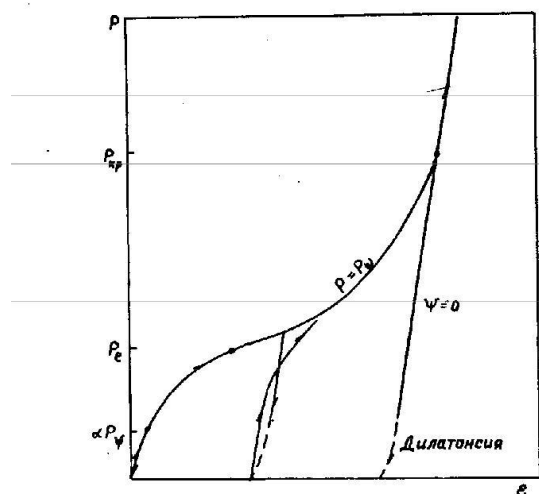


Рис. I. Схема поведения пористого материала при различных способах нагружения

Уравнения состояния веществ в гидродинамической области ПЯВ

Определение СЭ ПЯВ с приемлемой точностью возможно лишь на основе правильного учета диссипации энергии в области высоких давлений и температур.

Для описания термодинамических свойств ПП и графита в ближайшей зоне ПЯВ использовалось уравнение состояния КИМ [12]. Отличительная особенность многих ПП, особенно силикатных, заключается в том, что в них при давлениях $\sim 10-50$ МПа происходят полиморфные фазовые превращения, сопровождающиеся образованием плотноупакованных кристаллических структур. В уравнении состояния КИМ неравновесный полиморфный фазовый переход рассматривается в рамках квазиравновесного подхода. При этом уравнение состояния каждого грунта является совокупностью локальных уравнений состояния каждой из фаз: начальной, плотной в стабильном и нестабильном состояниях, области фазового перехода на ударной адиабате, смеси испаренного и неиспаренного грунта. Все локальные уравнения состояния сопрягаются друг с другом таким образом, чтобы обеспечить непрерывность соответствующих поверхностей. Предполагается, что относительно холодная плотная фаза разгружается метастабиль-

но, т.е. в части грунта фазовый переход имеет гистерезис.

Уравнение состояния для всех фаз ϕ_i (при $\psi=0$) имеет вид

$$P = P(\rho, E) = P_x(\rho) + \Gamma(\rho, E)[E - E_x(\rho)] : \rho,$$

$$T = T(\rho, E),$$

где T – температура; ρ – плотность; P_x , E_x – "холодные" составляющие давления и энергии. Функция $P_x(\rho)$ – многочлен пятой степени. Коэффициент Гронайзена $\Gamma(\rho, E)$ –дробно-рациональная функция. В фазах различаются наборы констант, входящие в функции $P_x(\rho)$, $E_x(\rho)$, $\Gamma(\rho, E)$.

При подборе параметров к уравнению состояния КИМ использовались экспериментальные данные по химическому составу, теплофизическими свойствам (объемная скорость звука, коэффициент линейного расширения, теплоемкость, теплота испарения, диссоциация), ударному сжатию и последующей изэнтропической разгрузке сплошных и пористых образцов ПП, а также результаты расчетов по уравнению состояния, в котором реализована многокомпонентная статистическая модель Томаса-Ферми с квантовыми и обменными поправками [13] при учете вклада теплового движения ядер в термодинамику по модели В.Л.Копылова [14]. Уравнение состояния КИМ использовалось при описании термодинамических свойств следующих веществ: гранатенит (массовая концентрация воды $z = 0$, теплота сублимации $Q_{sub} = 20$ кДж/г); водонасыщенный туф ($z = 0,124$, $Q_{sub} = 10$ кДж/г); рисолит – сухой туф ($z = 0$, $Q_{sub} = 10$ кДж/г); каменная соль ($z = 0$, $Q_{sub} = 7$ кДж/г); аллювий ($z = 0,23$, $Q_{sub} = 10$ кДж/г); графит ($z = 0$, $Q_{sub} = 60$ кДж/г).

С помощью двух расчетов ПЯВ в специальных постановках было установлено, что тепловой и объемный эффекты, сопровождающие плавление, не оказывают заметного количественного влияния на функцию сейсмического источника (ФСИ) и, следовательно, расчеты можно проводить с уравнением состояния, которое не учитывает плавления. В этом расчетном исследовании влияния плавления строилось двухфазное уравнение состояния модельной среды, близкой к кварцу. Уравнение состояния смеси фаз (твердого тела и жидкости) строилось, как и в случае испарения, исходя из аддитивности объемов и энергий фаз. При нормальном давлении объемный эффект при плавлении был задан около 7%, теплота плавления была взята ~ 4% от теплоты испарения, температура плавления ≈ 1000 К. На ударной адиабате температура плавления ≈ 2400 К и $P = 0,8$ Мбар. Во второй постановке учитывалось испарение, но твердая и жидккая фазы не различались, т.е. в окрестности кривой плавления свойства среды описывались осреднено.

Вещество заряда в расчетах ПЯВ в воздушных полостях имитировалось железным шаром, термодинамические свойства которого описывались уравнением состояния Г.Е.Клинишева [15].

Термодинамические свойства воздуха описывались табличным уравнением состояния, построенным на основе таблиц термодинамических функций [16], рассчитанных по формулам статистической теории газов на основе модели химического и ионизационного равновесия с учетом внутренних степеней свободы молекул и кулонаевских поправок по формуле Дебая-Хиккеля.

Термодинамические свойства воды описывались табличным уравнением состояния [17]. Пробеги в воздухе, железе, ПП и воде описывались табличными уравнениями; таблицы строились на основе данных работ [16, 18, 19].

Методика расчета СЭ камбулетного ПЯВ

Основные расчеты были выполнены в адабатическом приближении по программам СПРУТ, реализующим явные разностные схемы в координатах Лагранжа для одной [8] и двух [9] пространственных переменных. Начальная энергия взрыва выделялась в сфере радиусом $\sim 0,4 \text{ м}/\text{кт}^{1/3}$.

Первая стадия расчетов ПЯВ в воздушных (и водозаполненных) полостях проводилась по программе ВОЛНА [20] в гидродинамическом приближении с учетом лучистой теплопроводности. Энерговыделение взрыва мощностью 200 кт задавалось мгновенно и однородно в сфере радиусом $\sim 0,3 \text{ м}$. Области энерговыделения отвечали железный шар плотностью $2 \text{ г}/\text{см}^3$. В расчете по программе ВОЛНА определялось давление $P(t, r)$ на траектории r , вблизи полости и вне действия тепловой волны. Сопоставление результатов расчетов ПЯВ мощностью 200, 20 и 1 кт показало, что нарушение законов геометрического подобия из-за теплопроводности приводит к незначительному изменению параметров сейсмического источника, пересчитанного на мощность 1 кт - на уровне 1 и 0,1% соответственно.

Начальное напряженное состояние ПП принималось гидростатическим. В сферически-симметричных расчетах начальное давление в ПП равнялось литостатическому давлению на заданной глубине. В осесимметричных расчетах давление рассчитывалось с учетом гравитации, горизонтальной слоистости ПП, расстояния от дневной поверхности и в предположении, что дневная поверхность является свободной. На границах раздела скорости и напряжения считались непрерывными; скольжение газа допускалось на границе полости. Уравнение состояния КИМ для описания ПП использовалось в ближней зоне взрыва: $\Gamma \approx 10-15 \text{ м}/\text{кт}^{1/3}$. Вне этой зоны уравнение состояния имело форму М-Гронайзена с $\Gamma = \text{const}$.

СЭ ПЯВ определялась по параметрам лагранжевых частиц на упругом радиусе $r_c \sim 150-250 \text{ м}/\text{кт}^{1/3}$.

В качестве основных характеристик решения рассматривались: вектор смещения $\bar{w}(w_n, w_r)$; работа A напряжений σ_{ij} на единичную поверхность с нормалью в радиальном направлении \hat{n} ; сферический приведенный потенциал упругих смещений $f(t-r/c_p)$, построенный по нормальному смещению w_n и удовлетворяющий уравнению

$$\frac{1}{r c_p} \frac{\partial f}{\partial t} + \frac{f}{r^2} = w_n. \quad (9)$$

Скорость продольных волн c_p удовлетворяет соотношениям

$$c_p = c_{ok} \sqrt{\frac{3(1-\nu)}{1+\nu}} F_e, \quad c_{ok}^2 = K_s \cdot V_m,$$

В сферически-симметричном приближении потенциал f полностью характеризует упругое решение для любого r и пересчитывается на произвольную мощность взрыва Q

$$f(t_p, Q) = f(t_p/k^{1/3}, Q/k) \cdot k,$$

где $t_p = t - r/c_p$; k - отношение мощностей. Основными критериями декаплинга служили отношения $\eta(x) = x/x_*$, где параметр x_* отвечал опорному варианту расчета ПЯВ с плотной забивкой; x определялся на одних и тех же приведенных радиусах r и углах ψ с лучом из точки взрыва в центр Земли. В качестве x рассматривались амплитудные характеристики: $f_m = \max_t f - \min_t f$, $w_m = \max_t w_n - \min_t w_n$, $A_m = \max_t A - \min_t A$. Использование критериев по конечным значениям функций f , w_n , A вообще говоря, некорректно: в двумерном случае для малых ψ конечные значения этих функций могут быть неположительными. Из (9) следует, что на больших расстояниях $f \approx w_n r c_p$. Дополнительные критерии декаплинга определялись по амплитуде модуля спектра производной $f' - \eta(n)$ и ширине спектра f' .

Методика была откалибрована с помощью одномерных расчетов ПЯВ: "Хардхэт" (вмещающая среда - гранит), "Рейниер" (туф), "Фишер" (аллювий), "Гном" (соль), "Стерлинг" (полый воздушный декаплинг повторного взрыва в полости ПЯВ "Сэлман", вмещающая среда - соль). Получено хорошее количественное согласие расчетных данных ФСИ (\bar{w}, f) с экспериментальными данными [1, 4]. Коэффициент декаплинга η в расчете взрыва "Стерлинг" с учетом начального напряженного состояния ПП составил ~ 100 , что согласуется с данными [2] эксперимента. Расчетным путем было установлено, что СЭ ПЯВ уступает СЭ взрыва тротила той же мощности в ~ 2 раза.

С помощью калибровочных расчетов и анализа экспериментальной информации по поведению ПП в области низких давлений [11, 21, 22] были подобраны параметры модели среды для ряда ПП (табл. 1) и установлена степень их влияния на ФСИ в малопористой ПП (табл. 2).

Таблица I
Параметры III, использованные в расчетах СЭ ПЯВ

III	ρ , г/см ³	c_{∞}	c_p	v	z	v^*	λ	β_{∞}	β_p
		км/с	км/с						
Гранит	2,61	4,25	5,5	0,2	0	0,012	0,75	1,5	I
Соль	2,25	3,5	4,55	0,28	0	0	0,5	1,5	I
Туф	1,98	2	2,71	0,3	0,124	0	0	1,5	I
Алюминий	1,8	1,8	1,71	0,24	0,23	0,035	0	1,5	I

III	y_{∞}	A_{∞}	A_p	δ_{kp}	P_{kp}	P_e	αP_e	P_k^*	C_v
	Па								
Гранит	0,2	2	0,2	0,015	25	2,4	0,24	0,2	I95
Соль	0,1	0,3	0,015	0,01	0,46	2,4	0,24	0,2	I34
Туф	0,025	0,25	0,05	0,005	I	0,015	0,009	0	I4
Алюминий	0,05	0,03	0,03	0,001	5	0,005	0,004	0	I4

Таблица 2
Влияние параметров модели среды (x) и противодавления (P_e)
на ФСИ ПЯВ

III	x	$\frac{d \ln f_m}{d \ln x}$	$\frac{d \ln R_m}{d \ln x}$	$\frac{d \ln W_m}{d \ln x}$
Гранит	$y_{\infty} = 0,2$ Па	0	0,3	0,1
Алюминий	$y_{\infty} = 0,015$ Па	-0,25	-0,19	-
Туф	$y_{\infty} = 0,038$ Па	-0,07	-0,01	-
Соль ($P_e = 2$ Па)	$y_{\infty} = 0,025$ Па	-0,12	-	-
Гранит	$A_{\infty} = 2$ Па	-0,02	-0,03	-0,03
" "	$A_p = 1,5$	-0,07	-0,02	-0,05
" "	$A_e = 1$	-0,35	-0,15	-0,2
" "	$A_{kp} = 0,1$ Па	-0,6	-0,5	-0,5
Алюминий	$A_{\infty} = A_p = 0,015$ Па	-0,4	-0,3	-
Соль	$A_{kp} = 0,0085$ Па	-0,35	-	-
Гранит	$P_e = 0,0045$ Па	-0,16	0,08	-0,08
" "	$P_e = 0,009$ Па	-0,11	0,08	-0,09
Туф	$P_e = 0,012$ Па	-0,29	0,69	-
Гранит ($P_e = 30$ бар)	$\delta_{kp} = 0,015$ Па	-0,44	-0,27	-0,27
Гранит	$P_e^* = 0,1$ Па	0,1	0,15	0,18
" "	$c_{\infty} = 4,25$ км/с	-0,45	-0,6	-1
" "	$v = 0,25$	0,65	0,45	0,8
Алюминий	($P_e = 30$ бар) $P_e = 0,0045$ Па	1,9	2,9	-
Алюминий	$P_{kp} = 0,015$ Па	0,3	0,33	-

Зависимость СЭ ПЯВ от радиуса
энергопоглощающей среды

Ниже представлены результаты одномерных расчетов коэффициента декаплинга τ по критерию f_m для четырех имеющихся сред при окружении заряда средой, обладающей другими свойствами: воздухом (нормальной плотности), пористой водой (пена), трещиноватой III, раздробленной III, частично осущеной пористой III, пористым грефитом. В основной серии расчетов противодавление составляло 30 бар, а параметры III ставились данным табл. I. В опорных расчетах ПЯВ (нормальная, плотная за-

бочка) значение f_m составляло: 297 м³/кг – для гранита; 1545 м³/кг – для соли; 712 м³/кг – для туфа; 263 м³/кг – для алюминия.

Расчетные данные коэффициента декаплинга τ помещены в табл. 3–6.

Зависимости $\tau'(r_0)$ ПЯВ в воздушных полостях представлены на рис. 2. Эти зависимости немонотонны. При малых размерах полости воздух усиливает СЭ ПЯВ. Чем ниже прочность III, тем выше значение минимального радиуса полости ξ (радиуса декаплинга), ослабляющей СЭ. Оценка значения ξ может быть сделана путем сопоставле-

Таблица 3

Коэффициент декаплинга ПЯВ в граните при окружении заряда различными энергопоглощающими средами в радиусе r_n

Среда	$\rho_{\text{сп}}$ г/см ³	$\psi_{\text{сп}}$	r_n , м/к ^{1/3}	$\eta(f_m)$
Воздух	0,0014	0	2	0,75
"	0,0014	0	3	0,68
"	0,0014	0	4	0,66
"	0,0014	0	6	0,96
"	0,0014	0	8	2,22
"	0,0014	0	10	8,33
"	0,0014	0	12	21,7
Графит	I	0,56	2,055	I,09
"	I	0,56	2,96I	I,37
"	I	0,56	4,03	I,69
"	I	0,56	5	2,38
"	I	0,56	7,25	3,23
"	0,5	0,78	2,055	0,94
"	0,5	0,78	2,96I	I,12
"	0,5	0,78	4,03	I,67
"	0,5	0,78	5	2,38
Вода	0,1	0,9	5	0,64
"	0,01	0,99	5	0,52
Гранит по- ристый ($\phi_s = 6$)	I,6	0,4	5	I,07
"	I,6	0,4	10	I,45
Раздробленный гранит ($\phi_s = 6$) до $r = 60$ м/к ^{1/3} ; трещиноватый ($\phi_s = 4$) - до r_n 2,6I		0,012	IIO	0,75

Таблица 4

Коэффициент декаплинга ПЯВ в каменной соли в зависимости от радиуса воздушной полости

r_n , м/к ^{1/3}	$\eta(f_m)$
4	0,63
8	0,90
12	3,57
16	78

Таблица 5

Коэффициент декаплинга ПЯВ в аллювии в зависимости от радиуса энергопоглощающей полости и энергопоглотителя

Энергопоглотитель	r_n , м/к ^{1/3}	$\eta(f_m)$
Воздух	4	0,61
"	6	0,60
"	8	0,62
"	12	0,76
"	16	I,05
"	20	I,90
Графит, $\rho = I$ г/см ³	2,055	I,06
"	2,96	I,18
"	4,03	I,33
"	5	I,47
"	7,25	I,79
Графит, $\rho = 0,5$ г/см ³	2,055	0,96

Окончание табл. 5

Энергопоглотитель	r_n , м/к ^{1/3}	$\eta(f_m)$
Графит, $\rho = 0,5$ г/см ³	2,96	I
"	4,03	I,23
"	5	I,37
"	7,25	I,85

Таблица 6

Коэффициент декаплинга ПЯВ в туфе при окружении заряда различными средами в радиусе r_n

Среда	$\rho_{\text{сп}}$ г/см ³	$\psi_{\text{сп}}$	r_n , м/к ^{1/3}	$\eta(f_m)$
Воздух	0,0014	0	4	0,63
"	0,0014	0	6	0,68
"	0,0014	0	8	0,81
"	0,0014	0	I2	I,45
"	0,0014	0	I6	5
"	0,0014	0	20	I,67
Графит	I	0,56	2,055	I,II
"	I	0,56	2,96	I,28
"	I	0,56	4,03	I,47
"	I	0,56	5	I,69
"	I	0,56	7,25	2,17
"	0,5	0,78	2,96	I,06
"	0,5	0,78	4,03	I,39
"	0,5	0,78	5	I,64
Раздробленный туф ($\Phi_s = 6$) до $r = 60$ м/к ^{1/3} ;				
Пористый туф ($\Phi_s = 6$) ($\rho_{\text{сп}} = 0,012$ Па)	I,98	0	50	0,93
"	I,98	0	75	0,86
"	I,98	0	IIO	0,79
Пористый туф ($\rho_{\text{сп}} = 0,012$ Па)	I,19	0,4	I0	I,5
Пористый туф I,19	0,4	5	I,I	
Графит ($\rho_{\text{сп}} = 2,26$ г/см ³ , $r \neq 2$ м/к ^{1/3})	0,085		6	I,72
+ воздух до r_n				
То же	0,02		I0	4,35
Графит	2,26	0	2	I,43
"	2	0,115	2	I,38
"	2	0,115	3	I,49
"	2	0,115	4	I,52
"	2	0,115	5	I,54

ния эффективных средних значений давления $P_{\text{ср}}$ и прочности ПИ $\sigma_{\text{ср}}$. Если $P_{\text{ср}}$ определить равным давлению при равномерном распределении энергии взрыва в полости радиусом r_0 (полагая $r = 1/3$), а $\sigma_{\text{ср}}$ вычислить по формуле

$$\sigma_{\text{ср}} = \min \left[\frac{Y_{\text{ср}} + R_{\text{ср}}}{2}, 3 \alpha P_{\text{ср}} \sqrt{F_E} \right],$$

то ПИ из табл. I будет отвечать соотношению

$$r_0 = (3,44 \pm 0,06) \sigma_{\text{ср}}^{-1/3},$$

где $[r_0] = \text{м}/\text{к}^{1/3}$, $[\sigma_{\text{ср}}] = \text{Па}$. Расчетные значения r_0 составляют: 6,2 м/к^{1/3} - для гранита;

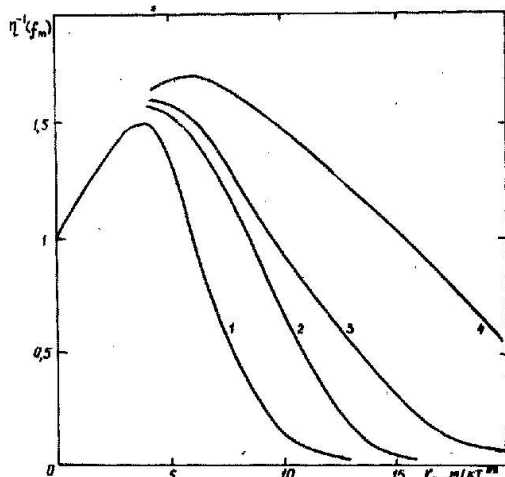


Рис. 2. Ослабление СЭ ПЯВ воздушной полостью при ПЯВ в: 1 - граните; 2 - соли; 3 - туфе; 4 - алюминии

$8,5 \text{ м}/\text{км}^{1/3}$ - для соли; $9,7 \text{ м}/\text{км}^{1/3}$ - для туфа; $15,5 \text{ м}/\text{км}^{1/3}$ - для алюминия. При $r > r_b$ имеет место антидекаплинг. При $r < r_b$ степень ослабления СЭ тем выше, чем выше прочность III.

Расчеты ПЯВ в воздушных полостях показали, что на расстояниях $r \approx 5,2 \text{ м}/\text{км}^{1/3}$ в воздухе происходит отрыв ударной волны от тепловой и образуются две области: ближняя, прогретая тепловой волной, и дальняя, сжатая ударной волной. Эффективный показатель адиабаты воздуха ($\gamma = 1,44$) существенно отличается от γ излучения (1,33). Неучет вклада излучения в давление и энергию (адиабатическое приближение) приводит к большим погрешностям в расчете ФСИ и радиуса r_b . Промежуточные данные расчетов ПЯВ в воздушных полостях (расчеты ВОЛНА в гидродинамическом приближении с теплопроводностью) сопоставлялись с данными работы [19], выполненной в США. Сравнивалась мощность взрыва, вычисляемая путем сопоставления $r-t$ - законов движения фронта ударной волны и ее амплитуды (гидродинамический метод определения мощности). Полученные результаты хорошо согласуются с данными [19], причем, как при учете теплопроводности, так и в случае адабатического приближения. В адабатическом приближении значение $r_b \approx 3 \text{ м}/\text{км}^{1/3}$; при $0 < r_n < r_b$ имеет место антидекаплинг по волновому критерию. С учетом теплопроводности зависимость $\eta'(r_n)$ по волновому критерию - монотонно убывающая функция ($\zeta_0 = 0$).

Добавление в воздушную полость воды (пены) в целом усиливает СЭ ПЯВ. Об этом говорят данные табл. 3. Если предполагать, что нарушенная в окрестности взрыва среда имеет заниженную прочность, а все ее остальные характеристики остаются неизменными, то этот фактор также приводит к усилению СЭ (см.табл. 3,6).

Повышение пористости среды в окрестности взрыва способствует снижению СЭ. В случае невы-

сокой прочности, меньшей насыпной ($\psi < 0,4$), снижение СЭ в зависимости от радиуса пористой области является функцией монотонной. Если же пористость высокая, то эта зависимость становится немонотонной, малым радиусам $r_n < r_b(\psi)$ отвечает усиление СЭ ПЯВ. При $r_n > r_b(\psi)$ СЭ снижается тем быстрее, чем выше ψ . Значение $r_b(\psi)$ растет с ростом ψ ; в пределе зависимость $\eta(r_n)$ выходит на зависимость $\eta(r_n)$ для воздушных полостей.

Каждому радиусу полости отвечает значение пористости, снижающей СЭ ПЯВ наиболее эффективно. Дальнейшее повышение эффективности энергопоглощения связано с заменой пористой вмещающей среды (по крайней мере, ее части в окрестности заряда) на материал, обладающий высоким значением энергии сублимации. В табл. 3,5,6 представлены расчетные данные снижения СЭ ПЯВ в графитовых полостях при различных плотностях графита. Основные серии расчетов были выполнены с однородным распределением графита в полости для двух плотностей: 0,5 и 1 $\text{г}/\text{cm}^3$. Анализ результатов расчетов ПЯВ в однородных графитовых и воздушных полостях показывает, что зависимость оптимальной плотности энергопоглотителя от радиуса полости ПЯВ в туфе может быть выражена следующей приближенной формулой:

$$\rho_{opt} \approx \rho_{ok} \cdot 2^{(r - r_b)/r_b},$$

где $\rho_{ok} = 2 \text{ г}/\text{cm}^3$, $r_b = 2 \text{ м}/\text{км}^{1/3}$. Эффективность энергопоглотителя может быть значительно повышена за счет снижения его плотности с ростом r . В табл. 6 помещены результаты расчетов с комбинированным энергопоглотителем: плотный графит в сфере радиусом $2 \text{ м}/\text{км}^{1/3}$ и воздух. Такая редакция позволяет ослабить СЭ ПЯВ в полости радиусом $10 \text{ м}/\text{км}^{1/3}$ более чем в 4 раза при средней плотности энергопоглотителя $0,02 \text{ г}/\text{cm}^3$ и, таким образом, в несколько раз снизить массу графита по сравнению с массой, отвечающей оптимальной однородной плотности полости.

Зависимости $\eta'(r_n)$ ПЯВ в туфе представлены на рис. 3.

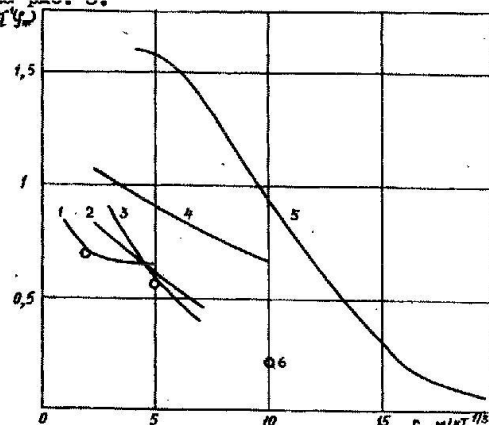


Рис.3. Ослабление СЭ ПЯВ в водонасыщенном туфе полостью, заполненной энергопоглотителем: 1 - графит, $\rho = 2 \text{ г}/\text{cm}^3$; 2 - графит, $\rho = 1 \text{ г}/\text{cm}^3$; 3 - графит, $\rho = 0,5 \text{ г}/\text{cm}^3$; 4 - сухой туф, $\psi = 0,4$; 5 - воздух; 6 - графит $\rho = 2,26 \text{ г}/\text{cm}^3$ ($r \leq 2 \text{ м}/\text{км}^{1/3}$) + воздух

Результаты расчетов декальинга
в двумерном приближении

В двумерных расчетах задавался упрощенный геологический разрез, схематично передающий строение одного из участков Невадского испытательного полигона (США). Над кровлей коренных пород выделялись три слоя, имитирующие аллювиальные отложения, ракушный и более плотный туфы. Параметры ПП по слоям приведены в табл. 7.

Таблица 7
Параметры ПП в двумерных расчетах

Глубина, м	ПП	$\rho, \text{г/см}^3$	ψ	φ	$C_p, \text{км/с}$
0-300	Аллювий	1,76	0,19	0,11	1,32
300-500	Туф I	1,73	0,15	0,15	1,76
500-1100	Туф	1,98	0	0,19	2,71
1100	Известник	2,65	0	0,02	3,8

Уровень грунтовых вод - 500 м, глубина заложения заряда - 640 м, мощность взрыва - 140 кт.

В табл. 8 представлены результаты расчета экстремальных нормальных смещений для различных углов ψ на расстоянии $r_e = 780$ м от точки взрыва. Масса окружающего заряд грунта вместе с полостью всасывает в сторону свободной поверхности. Конечные значения нормальных смещений для малых углов отказываются отрицательными. Максимальный подъем свободной поверхности в эпицентре взрыва составил ~1,9 м.

Таблица 8
Экстремальные нормальные смещения на упругом радиусе 780 м

ψ , град	$\max \frac{w_n}{t}$	$\min \frac{w_n}{t}$
	М	М
0	0,135	-0,09
30	0,135	-0,08
60	0,07	-0,03
90	0,20	0,05

Второй двумерный расчет был выполнен в предположении о наличии нарушенной ПП в окрестности взрыва. Эта область была задана в виде тора с поперечным сечением, находящимся на глубине заложения заряда и имеющим радиус 234 м. Расстояние от центра поперечного сечения до оси вращения тора (оси симметрии задачи) составляло 300 м. Наруженной ПП присваивалось значение $\Phi_s = 6$ (раздробленная среда). Внутри нарушенной области задавалась частично осущеная зона с пористостью $\psi = 0,3$. Она также имела форму тора с радиусом поперечного сечения 155 м (рис.4). Ее объем составлял $4/9$ объема всей нарушенной области. Результаты расчетов снижения СЭ ПЯВ за счет осущеной области представлены в табл.9.

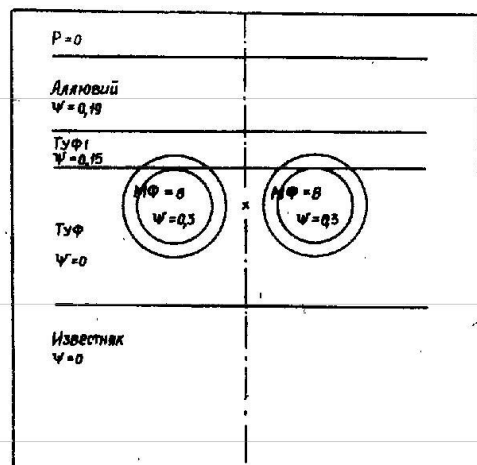


Рис. 4. Структура областей в двумерных расчетах ПЯВ

Таблица 9
Влияние нарушенной и частично осущеной области на СЭ ПЯВ ($r_e = 780$ м)

ψ , град	$\eta(w_n)$	$\eta(f_m)$	$\eta(A_m)$	$\eta(H)$	$\eta(\frac{f_m}{A_m})_{\text{расп}}^{1/3}$
0	1,52	1,56	1,32	1,64	1,32
30	1,96	1,79	1,82	1,82	1,52
40	2,04	1,72	2,38	1,75	1,72
51	1,89	1,54	3,03	1,75	2,08
60	1,59	1,33	4,76	1,89	2,56
90	1,75	1,82	4,17	2,04	2,86

Взяв в качестве опорного угол $\psi = 30^\circ$, можно сделать вывод, что нарушенная и частично осущеная область ослабляет СЭ ПЯВ в ~1,8 раза. Расчет с нарушенной областью без осущения дает усиление СЭ ПЯВ в ~1,2 раза. Следовательно, фактор осущения приводит к ослаблению СЭ в ~2 раза. Перемещение торообразной нарушенной области к свободной поверхности приводит к усилению ее влияния на ФСИ для углов $\psi > 90^\circ$ и ослаблению - при $\psi < 90^\circ$.

Расчеты данного ПЯВ в графитовой области сферической формы (радиус 2,62 м/кт^{1/3}, плотность графита 1,1 г/см³) и в центре вертикально вытянутой эллипсоидальной графитовой полости того же объема дали практически близкие показатели ФСИ по всем направлениям ψ в случае, когда соотношение осей эллипса равно 1:5.

Заключение

Энергопоглощающая среда в окрестности взрыва способна многократно ослабить СЭ ПЯВ. При ПЯВ в водонасыщенном туфе воздушная полость объемом 4000 м³/кт сохраняет СЭ ПЯВ; ослабляет СЭ в ~1,5 раза - при заполнении полости сухим туфом насыщенной плотности (осущение); ослабляет СЭ в ~4 раза - при окружении заряда в радиусе

2 м/км^{1/3} плотным графитом. Частичное осушение ПП (созданное ранее проведенными взрывами) способствует значительному снижению СЭ ПЯВ, проводимого вблизи границы области осушки.

Авторы выражают благодарность Л.П.Владимирскому, В.Б.Кириченко, А.М.Новикову и Г.Г.Савранской, принявшим участие в постановке задач и обсуждении результатов.

Список литературы

1. WERTH G.C., HERBST R.P. Comparison of amplitudes of seismic waves from nuclear explosions in four mediums// J.Geophys. Res. 1963. Vol. 68, N 5. P. 1463-1475.

2. SPRINGER D.J., DEPPU M., HEALY J., MICKEY W. The Sterling experiment: decoupling of seismic waves by a shot-generated cavity// Ibid. 1968. Vol. 73. P. 5995.

3. РОДИОНОВ В.Н., АДУШКИН В.В., КОСТОЧЕНКО В.Н. и др. Механический эффект подземного взрыва. М.: Недра, 1971.

4. РОДИОН Г. Сейсмология ядерных взрывов. М.: Мир, 1974.

5. РОДИОН Г. Неупругие процессы в сейсмических волнах при подземных взрывах// Механика Т. 42. М.: Мир, 1987.

6. ВОВК А.А., ЗАМЫШЛЯЕВ Б.В. и др. Поведение грунтов под воздействием импульсных нагрузок. Киев: Наукова думка, 1984.

7. ЗВЕРЕВ А.А., НАГОРНОВ О.В., ФЕТИСОВ В.С. Влияние условий проведения камуфляжного взрыва на механические характеристики окружающей среды// ПММ. 1989. В 3.С.44-50.

8. БЫЧЕНКОВ В.А., ГАДЖИЕВА В.В., КУРОПАТЕНКО В.Ф. Расчет неуставновившихся движений разрушаемых сред// Числ. методы мех. спл. среды. 1972. Т. 3, № 2. С. 3-17.

9. БЫЧЕНКОВ В.А., ГАДЖИЕВА В.В., КУРОПАТЕНКО В.Ф. Метод СИРУТ расчета двумерных неуставновившихся движений разрушаемых сред// Вопросы атомной науки и техники. Сер. Методики и программы численного решения задач математической физики. 1978. Вып.2(2). С. 17-22.

10. МАЙНЧЕН Д., САК С. Метод расчета ТЕНЗОР. Вычислительные методы в гидродинамике. М.: Мир, 1967. С. 185-211.

11. BUTKOVICH T.R. A technique for generating pressure-volume relationships and failure envelopes for rocks. Livermore Laboratory. Rept. UCRL-51441, 1973.

12. КУРОПАТЕНКО В.Ф., МИНАЕВ И.С. Математическая модель уравнения состояния кварца// Вопросы атомной науки и техники. Сер. Математическое моделирование физических процессов. 1989. Вып. 1. С. 75-76.

13. КАЛИТКИН Н.Н., КУЗЬМИНА Л.В. Таблицы термодинамических функций веществ при высокой концентрации энергии. Препринт № 35. М.: ИИМ АН СССР, 1975.

14. КОПЫШЕВ В.П. О термодинамике ядер одноатомного газа// Числ. методы мех. спл. среды. 1977. Т. 8, № 6. С. 54-67.

15. ЕЛИСЕЕВ Г.М., КЛИНИШОВ Г.Е. Уравнение состояния твердых веществ и его слажен-аппроксимация. Препринт № 173. М.: ИИМ АН СССР, 1982.

16. КУЗНЕЦОВ Н.Н. Термодинамические функции и ударные адабаты воздуха при высоких температурах. М.: Машиностроение, 1965.

17. КОВАЛЕНКО Г.В., САПОЖНИКОВ А.Т. Табличное уравнение состояния воды// Вопросы атомной науки и техники. Сер. Методики и программы численного решения задач математической физики. 1979. Вып. 4. С. 40-46.

18. НИКИФОРОВ А.Ф., УВАРОВ В.Б. Вычисление непрозрачности звезд с учетом поглощения света в спектральных линиях// Докл. АН СССР. 1970. Т. 191. С. 47.

19. KING D.S., FREEMAN B.E., BILLERS D.D., JOHNSON J.D. The effective yield of a nuclear explosion in a small cavity in geologic materials: enhanced coupling revisited// J.Geophys.Res. 1989. Vol. 94, N B9. P. 12375-12385.

20. КУРОПАТЕНКО В.Ф., КОВАЛЕНКО Г.В., КУЗНЕЦОВА В.И. и др. Комплекс программы ВОЛНА и неоднородный разностный метод расчета движения сжимаемых сред// Вопросы атомной науки и техники. Сер. Математическое моделирование физических процессов. 1989. Вып. 2. С. 9-25.

21. BOPP E.B., ABLEY A.E., HEDDARD H.C., SCHOCK R.N. High-Pressure Mechanical Properties of Merlin Alluvium. Livermore Laboratory, Rept. UCRL-51099, 1971.

22. HEDDARD H.C. The influence of environment of the inelastic behavior of rocks// Sym.on Engineering Nuclear Explosives. Vol.1. Las-Vegas, Nevada, 1970.

Статья поступила в редакцию 18.05.92.